

วงจรกรองແບคວາມถີ່ຝ່ານ Chebyshev ອັນດັບທກຽບແບກຮະແສນິດຂັ້ນບັນໄດ້ໂດຍໃໝ່ OTA-C Current-mode Chebyshev Ladder Band-pass Filter Using OTA-C

ເທິດຕັກີໍ ກັນໂຕ ພສຮຣ ຍຶ່ງເຈຣີຢູ່ຮັດນ ພັນອການຕໍ່ ແສງແກ້ວ ແລະ ພິພັດນີ້ພຣໜມມີ

ສາຂາວິຊາວິສະວະຮົມໂທຄມນາຄມ ຄົມວິສະວະຮົມສາສຕ່ຣ ສາກັນເທົກໂນໂລຢີພຣະຈອມເກລ້າເຈ້າຄຸນທຫາລາດກະບັງ

ບທຄັດຍ່ອ

ບທຄວາມນີ້ນໍາເສນອວງຈະກອງແບຄວາມຄື່ຝ່ານ Chebyshev ອັນດັບທກ ຮູປແບກຮະແສນິດຂັ້ນບັນໄດ້ ໂດຍ ໃໝ່ OTA-C ວັຈປະກອບໄປດ້ວຍອີນທີເກຣເຕອຣ໌ຂົນດີສູ່ນູ່ເສີຍ ແລະ ອີນທີເກຣເຕອຣ໌ຂົນດີໄໝສູ່ນູ່ເສີຍ ໂດຍມີຕັ້ງເກີບປະຈຸບຸຕ່ອລ ກຣາວດຳນັນທັກຕ້ວ ວັຈທີ່ນໍາເສນອໃຫ້ຮູປແບກຮະແປລງ ຈາກງຈຣ RLC ດັນແບນ ອຸປະນົມທີ່ນໍາເສນອສ້ວ່າງໂດຍໃໝ່ ເທົກໂນໂລຢີເຈີມອສ TSMC 0.18 μ m ພິຕອບສັນອທາງ ຄວາມຄື່ສາມາຄວບຄຸມ ໄດ້ດ້ວຍການປັບຮະແສໄປອັສ ຕັ້ງແຕ່ 0.1 mA ລຶ້ງ 1,000 mA ໂດຍມີຍ່ານຄວາມຄື່ໃໝ່ງານຕັ້ງແຕ່ 500kHz ລຶ້ງ 50MHz ວັຈທີ່ນໍາເສນອໃຫ້ໄຟເລີ່ຍ່າງໆ 1.5V ໃໝ່ ພັສງານປະມານ 72 mW ຄວາມເພີ່ມທາງຍາຮົມອນິກິສ໌ຕໍ່າ ອັກທີ່ຍັງໄຟໃຫ້ຕ້ານທານການອັກຕໍ່ອ່ວມໃນງຈຣ ຈຶ່ງເໝາະ ໃນກາຮ່າງເປັນວັງຈະຮົມໂດຍຈໍາລັອງຜົກກາຮ່າງການຂອງວັຈຣ ທີ່ນໍາເສນອດ້ວຍໂປຣແກຣມ PSPICE ພບວ່າມີຄວາມສອດຄລ້ອງ ກັບທຖານີ

ຄຳສຳຄັ້ງ: ວັຈກອງແບຄວາມຄື່ຝ່ານອັນດັບສູງ ຮູປແບກຮະແສ Chebyshev OTA-C

1. ບທນໍາ

ວັຈຮ່າຍາຄວາມນໍາ (OTA: Operational Transconductance Amplifier) [1] ເປັນອຸປະນົມທີ່ໃໝ່ ອິກແບບວຈປະມານພລສັງຄູາມອນາລືອກ໌ຂຶ່ງມີຂໍ້ອົດຕື່ອ ປັບຄ່າຄວາມນໍາໄດ້ດ້ວຍວິທີທາງອີເລີກທອນິກິສ໌ໄດ້ກວ້າງ ໂຄງສ້ວ່າງນີ້ມີບໍ່ຈຳວັດOTA ຖຸກນຳໄປແທນອຸປະນົມພາສີ່ພິໃນ ວັຈກອງຄວາມຄື່ ຈຶ່ງໄດ້ຮັບການຄິດຄັນແລະພັນນາຍ່ອງໆ ຕ່ອນື່ອງ ເຊັ່ນ ກາຮອກແບບວຈກອງຄວາມຄື່ອັນດັບທີ່ນີ້ [2-3] ກາຮອກແບບວຈກອງຄວາມຄື່ອັບດັບສອງ [4-5] ໂດຍເປັນທີ່ທ່ານກັນດີວ່າງຈະກອງຄວາມຄື່ອັນດັບສູງຈະມີ ປະສິທິພາບດີກວ່າອັນດັບຕໍ່ ເຊັ່ນ ທຳໄໝງຈະເຂົ້າໄກລ້ວມາ ເປັນອຸດົມຄິມາກຂັ້ນ ວັຈກອງຄວາມຄື່ແບບແອກທີ່ພວັນດັບ ສູງຄູກສ້ວ່າງຂັ້ນຈາກແບບຈໍາລັອງ RLC[6-8] ທຳຈານໃນຮູປແບບ

ແຮງຕັ້ນ ແຕ່ເປັນທີ່ທ່ານກັນດີວ່າງຈະກັ່ງທີ່ທຳການໃນຮູປແບບ ກຣະແສມີຕັກພາບທີ່ສູງກວ່າ ເຊັ່ນ ພິຕອບສັນອທາງຄວາມຄື່ ສູງກວ່າໃໝ່ໄຟເລີ່ຍ່າງໆ ກາຮອກແບບໄຫ້ວັຈທຳການໃນ ຮູປແບກຮະແສຈຶ່ງເປັນແນວທາງທີ່ໄດ້ຮັບຄວາມນີຍມອຍ່າງ ແພວ່ຫຍາຍ

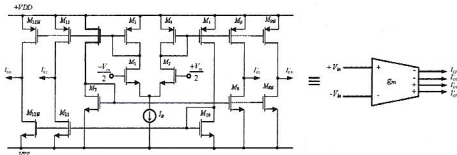
ໃນດີຕັງຈະກອງແບຄວາມຄື່ຝ່ານຮູປແບກຮະແສ ອັນດັບສູງດ້ວຍເທົກນີ້ຕ່າງໆ ເຊັ່ນ ວັຈກອງແບຄວາມຄື່ຝ່ານ Chebyshev ອັນດັບສູງນິດຂັ້ນບັນໄດ້ຖຸກນຳເສນອຈາກອົບ ແອມປີ (Op-amps) ແລະ ມອສທານອີສເຕອຣ໌ [9-12] ດ້ວຍ ໂຄງສ້າງທີ່ຂັ້ນຂັ້ນ ວັຈຮ່າຍາພຣະແສຫລາຍເອເຕີພຸດ (MOCC) [13] ຕ່ອງຮ່ວມກັບຕ້ານທານຖານຖຸກນຳເສນອແຕ່ມີ ຂໍ້ເສີຍຄື່ ໃຫ້ອຸປະນົມພາສີ່ພິມາກເກີນໄປ ແລະ ທຳການໃນ ຢ່ານຄວາມຄື່ສູງໄດ້ມີດີນັກ ວັຈກອງແບຄວາມຄື່ຝ່ານ Chebyshev ອັນດັບ 6 ໂດຍໃໝ່ກາຄາສເຄີດຂອງວັຈກອງ ໄປຄວອຕ [14] ຈຶ່ງກີ່ຍັງໄມ້ເໝາະທີ່ຈະທຳການໃນຢ່ານຄວາມຄື່ VHF

ຈາກປຶ້ງທາດ່າງໆຂອງວັຈທີ່ນໍາເສນອມາແລ້ວໃນອົດຕື່ ໃນບທຄວາມນີ້ຈຶ່ງນໍາເສນອວງຈະກອງແບຄວາມຄື່ຝ່ານ Chebyshev ອັນດັບທກປັບຄ່າໄດ້ຮູປແບກຮະແສນິດ ຂັ້ນບັນໄດ້ໂດຍໃໝ່ OTA-C ວັຈປະກອບດ້ວຍອີນທີ່ເກຣເຕອຣ໌ ຂົນດີສູ່ນູ່ເສີຍ 2 ຕ້ວ ແລະ ອີນທີ່ເກຣເຕອຣ໌ຂົນດີໄໝສູ່ນູ່ເສີຍ 4 ຕ້ວ ຕັ້ງເກີບປະຈຸບຸຕ່ອລກຣາວດີ 6 ຕ້ວ ທຳໄໝ້ຂໍ້ມູນກັບຂັ້ນ ເຊັ່ນ ໃຫ້ອຸປະນົມນ້ອຍ ໄຟເລີ່ຍ່າງໆ ພັສງານຕໍ່າ ແລະ ປັບຄ່າທາງ ອີເລີກທອນິກິສ໌ໄດ້ກວ້າງ ເໝາະແກ່ການນຳໄປສ້ວ່າງເປັນວັງຈະ ຮ່ວມໄດ້ ຜົກກາຮ່າງຈໍາລັອງກາຮ່າງການມີຄວາມສອດຄລ້ອງກັບ ທຖານີ

2. ທຖານີແລະ ທັກກາຮ່າງ

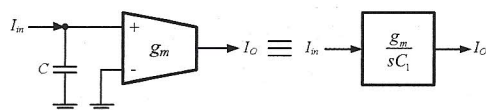
2.1 ວັຈອີນທີ່ເກຣເຕອຣ໌ໃໝ່ OTA

ວັຈຈຳວັດ (Multiple-Output Operational Transconductance Amplifier: MO-OTA) ແບບເຈີມອສ ຕັ້ງແສດງໃນຮູປທີ່ 1



รูปที่ 1 วงจรโอทีเออย่างເອົາຕຸພູບແບບຂຶ່ມອສ (CMOS MO-OTA)

การสร้างบັດລືອກອິນທີເກຣເຕອຣ໌ຂົນດໄມ່ສູງເສີຍດ້ວຍ ວຈຣ ອຕຣ ນັ້ນສາມາດຮັດງານໄດ້ໂດຍການຕ່ອດຕ້າງເກີບປະຈຸ ທີ່ອິນພູບວາກລົງກາວົດແລະອິນພູບລົບລົງກາວົດ ແລະ ແທນດ້ວຍບັດລືອກໄດ້ໂດຍແກຣມໄດ້ຕັ້ງແສດງໃນຮູບທີ 2

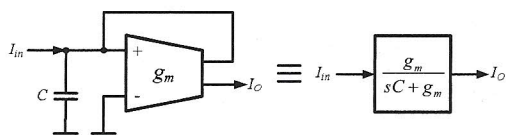


ຮູບທີ 2 ບັດລືອກອິນທີເກຣເຕອຣ໌ຂົນດໄມ່ສູງເສີຍ (Lossless integrator)

จากการວິເຄາະທີ່ວ່າງຈຽບທີ 2 ດ້ວຍ KCL ຈະໄດ້ ພັກໜັນຄ່າຍໂອນກະແສດງນີ້

$$\frac{I_o}{I_{in}} = \frac{g_m}{sC} \quad (1)$$

ການນຳບັດລືອກອິນທີເກຣເຕອຣ໌ຂົນດໄມ່ສູງເສີຍສາມາດ ນຳໄປສ້າງເປັນບັດລືອກອິນທີເກຣເຕອຣ໌ຂົນດສູງເສີຍໄດ້ໂດຍການ ອຸປເອົາຕຸພູບລົບກັບທີ່ອິນພູບວາກຂອງບັດລືອກອິນທີເກຣເຕອຣ໌ໄມ່ ຂົນດສູງເສີຍຕັ້ງແສດງໃນຮູບທີ 3



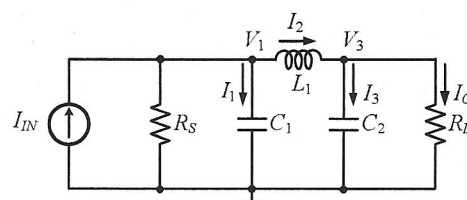
ຮູບທີ 3 ບັດລືອກອິນທີເກຣເຕອຣ໌ຂົນດສູງເສີຍ (Lossy integrator)

จากการວິເຄາະທີ່ວ່າງຈຽບທີ 3 ດ້ວຍ KCL ຈະໄດ້ ພັກໜັນຄ່າຍໂອນກະແສດງນີ້

$$\frac{I_o}{I_{in}} = \frac{g_m}{sC + g_m} \quad (2)$$

3. ວັດຈິນຮັດງານແບບຄວາມຄືຜ່ານອັນດັບທັກ

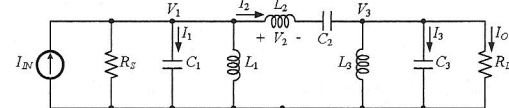
ການຮັດງານຈົບອິນທີເກຣເຕອຣ໌ຂົນດໄມ່ສູງເສີຍ ແລະ ວັດຈິນທີເກຣເຕອຣ໌ຂົນດສູງເສີຍໂດຍໃຫ້ຈາກ OTA ທີ່ ນຳເສັອ ອຸກນໍາມາອັກແບບເປັນວັດຈິນຮັດງານແບບຄວາມຄືຜ່ານ ອັນດັບທັກ ໂດຍໃຫ້ວິທີການແປລົງໂຄຮ່າຍ (Network Transform) [15] ຈາກຈະຈິນຮັດງານແບບຄວາມຄືຜ່ານ ແບບຂັ້ນບັນໄດ້ (LC Ladder LPF) ແບບພາສີຟທີ່ມີຕັ້ງດ້ານທານ ປລາຍປົດຄູ່ (Doubly Terminated Resistors) ສິ່ງເປັນ ໂຄງຮັດງານພື້ນຮູນໃນການສັງເຄຣະທີ່ດັ່ງແສດງໃນຮູບທີ 4



ຮູບທີ 4 ວັດຈິນຮັດງານແບບຄວາມຄືຜ່ານອັນດັບສາມ ຂົນດັບບັນໄດ້ຕັ້ນແບບ

ตารางທີ 1 ຮູບແບບການແປລົງ RLC ຈາກ LPF ເປັນ BPF [15]

| LPF Elements | BPF Elements |
|--------------|------------------------------|
| L_{LP} | $\frac{1}{L_{LP}\omega_r^2}$ |
| C_{LP} | $\frac{1}{C_{LP}\omega_r^2}$ |
| R_{LP} | R_{LP} |



ຮູບທີ 5 ວັດຈິນຮັດງານແບບຄວາມຄືຜ່ານອັນດັບທັກ ຂົນດັບບັນໄດ້ຕັ້ນແບບ

ຈາກຮູບທີ 5 ແສດວັດຈິນຮັດງານແບບຄວາມຄືຜ່ານ ອັນດັບທັກຂົນດັບບັນໄດ້ຕັ້ນແບບ ທີ່ໄດ້ຈາກການແປລົງວັດຈິນ ຕາມຕາງທີ່ 1 ໂດຍໃຫ້ໂຄຮ່າຍສ້າງພື້ນຮູນວັດຈິນຮັດງານແບບຄວາມຄືຜ່ານອັນດັບສາມຂົນດັບບັນໄດ້ຕັ້ນແບບໃນຮູບທີ 4 ເປັນຕ້ວໆ ຕັ້ງຕັ້ນໃນການສັງເຄຣະທີ່ຈາກນັ້ນນຳມາວິເຄາະທີ່ໂດຍໃຫ້ KCL

ทำให้ได้สมการความสัมพันธ์ระหว่างกระแสและแรงดันของวงจรของแบบความถี่ผ่านอันดับหนึ่งขั้นบันได ดังสมการที่ 3 - 8

$$V_1 = \frac{I_1}{sC_1} \quad (3)$$

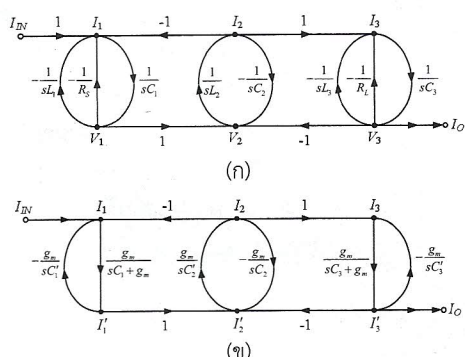
$$V_2 = V_1 - V_3 - \frac{I_2}{sC_2} \quad (4)$$

$$V_3 = \frac{I_3}{sC_3} \quad (5)$$

$$I_1 = I_{IN} - \frac{V_1}{R_s} - \frac{V_1}{sL_1} - I_2 \quad (6)$$

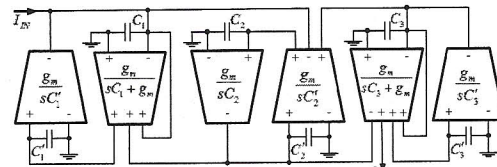
$$I_2 = \frac{V_2}{sL_2} \quad (7)$$

$$I_3 = I_2 - \frac{V_3}{sL_3} - \frac{V_3}{R_L} \quad (8)$$



รูปที่ 6(ก) กราฟการไหล (Signal Flow Graph: SFG) ของวงจรของแบบความถี่ผ่านอันดับหนึ่งขั้นบันไดต้นแบบ (ข) Normalized SFG ของรูปที่ 6(ก) ในรูปแบบกระแส

เห็นได้ว่าจากสมการที่ (3)-(8) สามารถนำเขียนเป็นกราฟการไหล (Signal Flow Graph: SFG) ได้ดังรูปที่ 6(ก) ซึ่งจะอยู่ในรูปของกระแสและแรงดัน และเมื่อต้องการปรับ SFG รูปที่ 6(ก) ให้อยู่ในรูปของกระแสทั้งหมดสามารถทำได้โดยการ Normalized โดยใช้ค่า ทรานสistor ตัวแปร (g_m) เพื่อเปลี่ยนรูปของแรงดันให้เป็นกระแสแสดงในรูปที่ 6(ข)



รูปที่ 7 วงจรรวมของวงจรของแบบความถี่ผ่าน

Chebyshev อันดับหนึ่งสำหรับ

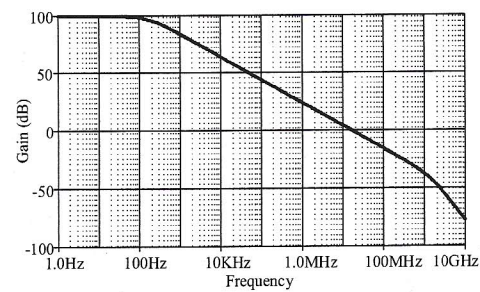
จากการภาพในรูปที่ 6(ข) สามารถสร้างเป็นวงจรของแบบความถี่ผ่านโดยใช้บล็อกไดอะแกรมรูปที่ 2 และ 3 ได้ดังรูปที่ 7 เมื่อพิจารณาจะรู้ที่นำเสนอบรรบว่าประกอบด้วยบล็อกอินทีเกรเตอร์ชนิดสูญเสียและบล็อกอินทีเกรเตอร์ชนิดไม่สูญเสีย

4. ผลการจำลองการทำงาน

ผลการจำลองการทำงานด้วย PSPICE ของวงจรของแบบความถี่ผ่าน Chebyshev อันดับหนึ่งแบบขั้นบันไดต้นแบบโดยตัวเก็บประจุมีค่า $C_1=C_2=C_3=10\text{nF}$ และค่าความเหนี่ยววนัมว่าค่า $L_1=L_2=L_3=10\text{nH}$ ตัวต้านทาน $R_s=R_L=1\Omega$ ตามลำดับ เปรียบเทียบกับวงจรของแบบความถี่ผ่าน ต้นแบบโดยใช้เทคโนโลยี CMOS $0.18\mu\text{m}$ ของ TSMC ใช้ไฟเลี้ยง 1.5V โดยทรานซิสเตอร์ PMOS และ NMOS ในวงจรโอทีเอ ดังแสดงในรูปที่ 1 โดยกำหนดค่า W/L ของมอสทรานซิสเตอร์เป็นดังแสดงในตารางที่ 2

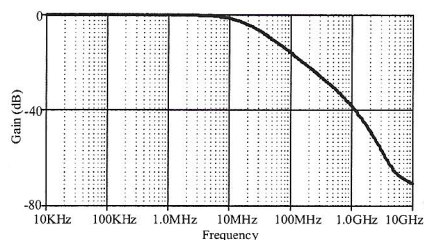
ตารางที่ 2 ค่า W/L ของมอสทรานซิสเตอร์ ในรูปที่ 1

| Transistor | $\text{W} (\mu\text{m})$ | $\text{L} (\mu\text{m})$ |
|------------|--------------------------|--------------------------|
| PMOS | 15 | 0.25 |
| NMOS | 5 | 0.25 |



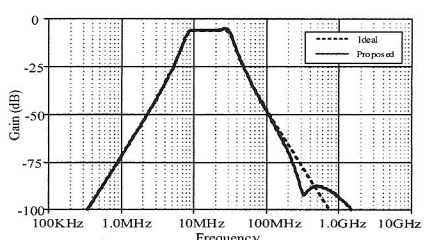
รูปที่ 8 ผลตอบสนองทางแมกนิจูดของ

วงจรอินทีเกรเตอร์ชนิดไม่สูญเสีย



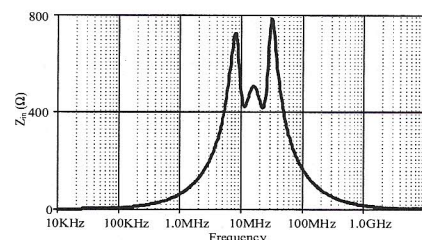
รูปที่ 9 ผลตอบสนองทางแมgnิจูดของวงจรกรองความถี่ผ่าน Chebyshev อันดับหก เมื่อปรับค่ากระแสไบอส

โดยรูปที่ 8 และรูปที่ 9 เป็นการแสดงผลการตอบสนองทางแมgnิจูดของวงจรกรองความถี่ผ่าน Chebyshev อันดับหก เมื่อปรับค่ากระแสไบอส $I_B = 100\mu A$ พบว่ามีการตอบสนองความถี่ที่ $10 MHz$



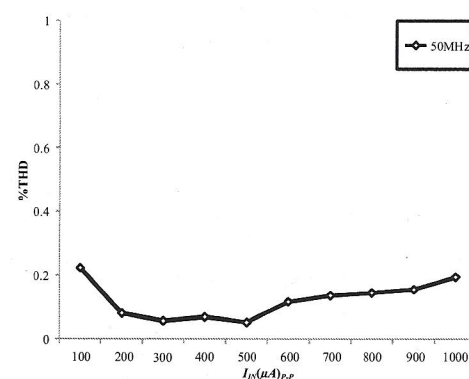
รูปที่ 10 ผลตอบสนองทางแมgnิจูดของวงจรกรองແນບความถี่ผ่าน Chebyshev อันดับหกในรูปที่ 5 และรูปที่ 7

นำวงจรในรูปที่ 2 และรูปที่ 3 มาต่อวงจรกรองແນບความถี่ผ่าน ดังรูปที่ 7 โดยใช้ตัวเก็บประจุมีค่า $C_1 = C_2 = C_3 = C'_1 = C'_2 = C'_3 = 10 pF$ ปรับค่ากระแสไบอส (I_B) เท่ากับ $100\mu A$ เพรียบเทียบผลตอบสนองทางแมgnิจูดของวงจรกรองແນບความถี่ผ่านที่นำเสนอดังรูปที่ 10 จะเห็นได้ว่าของวงจรทั้งสองมีค่าไกต์เดียงกัน แต่มีการกระเพื่อมของสัญญาณในช่วงແນບความถี่ผ่าน (Pass-band) แตกต่างกันอยู่เล็กน้อยส่วนค่าอินพุตอิมพเดนซ์ของวงจรกรองແນບความถี่ผ่านที่นำเสนอดังรูปที่ 11 พบว่ามีค่าต่ำมากในช่วงແນບความถี่หยุด (Stop-band) และ ในช่วงແນບความถี่ผ่านมีค่าประมาณ 400Ω ในช่วงແນບความถี่ผ่าน



รูปที่ 11 ความต้านทานอินพุตของวงจรกรองແນບความถี่ผ่าน Chebyshev อันดับหก เมื่อปรับค่ากระแสไบอส

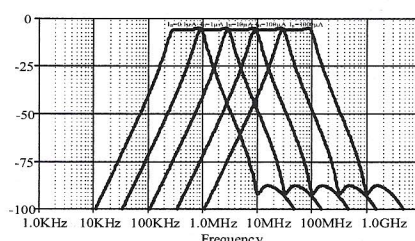
$$I_B = 100\mu A$$



รูปที่ 12 ค่าความเพี้ยนทางอาร์มอนิกของวงจรกรองແນບความถี่ผ่านที่นำเสนอนี้ โดยกำหนดค่ากระแสไบอส

$$I_B = 1000\mu A$$

รูปที่ 12 แสดงค่าความเพี้ยนทางอาร์มอนิก (THD) ของวงจรกรองແเนບความถี่ผ่านที่นำเสนอด้วยค่ากระแสไบอส $I_B = 1,000\mu A$ ป้อนสัญญาณอินพุตในช่วงແນບความถี่ผ่าน (50MHz) และ ปรับค่าเอมปลิจูดของอินพุต ค่า THD ที่วัดได้มีค่าต่ำกว่า 0.4%



รูปที่ 13 ผลตอบสนองทางแมgnิจูดของวงจรกรองແນບความถี่ผ่าน Chebyshev อันดับหก ที่นำเสนอมีปรับค่ากระแสไบอส (I_B)

ในการปรับค่าการตอบสนองทางความถี่ของวงจรกรองແเบกความถี่ผ่าน Chebyshev อันดับหนึ่งที่นำเสนอนี้สามารถปรับค่าทางอิเล็กทรอนิกส์ โดยการปรับกระแสไฟฟ้า $I/[0.1, 1, 10, 100, 1000] \mu\text{A}$ ผลตอบสนองทางความถี่สามารถปรับค่าได้ในช่วงตั้งแต่ 500kHz ถึง 50MHz ดังแสดงในรูปที่ 13 พบร่วมผลตอบสนองทางแมกนิจูดของวงจรกรองແเบกความถี่ผ่าน Chebyshev อันดับหนึ่งที่นำเสนอมีความสอดคล้องกับทฤษฎี

5. บทสรุป

วงจรกรองແเบกความถี่ผ่าน Chebyshev อันดับหนึ่งรูปแบบกราฟแซนด์บัคได้โดยใช้โอทีเอวงจรใหม่ๆ นำเสนอบนจะรประกอบด้วยอินเทอร์เซอร์ชันดิสกูนิสต์ และไม่สูญเสีย โดยเลียนแบบการทำงานจากการกรองແเบกความถี่ผ่าน Chebyshev แบบขั้นบันไดอันดับหนึ่งรูปแบบ ผลตอบสนองทางความถี่ใช้งานอยู่ในช่วง 500kHz ถึง 50MHz โดยปรับค่ากระแสไฟอัลสตั้งแต่ $0.1\mu\text{A}$ ถึง $1,000\mu\text{A}$ วงจรที่นำเสนอนี้ใช้ไฟเลี้ยงที่ 1.5V และใช้พลังงานสูงสุด $72m\text{W}$ ที่กระแสไฟอัลส์ $1,000\mu\text{A}$ วงจรประกอบด้วยโอทีเอแบบอินเทอร์เซอร์ชันดิสกูนิสต์จำนวน 2 ตัว ชนิดไม่สูญเสียจำนวน 4 ตัว และตัวเก็บประจุต่อลงกราวด์จำนวน 6 ตัว วงจรที่นำเสนอมีค่า THD ต่ำ และปรับค่าได้ย่านความถี่กว้าง

6. เอกสารอ้างอิง

- [1] I.A. Khan and S.Khawaja, "An integrable gm-C quadrature oscillator". Int. J. Electronics, Vol. 87 pp.1353-1357, 2000.
- [2] I. A. Khan, P. Beg, T.Muslim Ahmed, "First Order Current Mode Filters and Multiphase Sinusoidal Oscillators Using MOCCIs," ICM '06 International Conference on Microelectronics, pp.146-149, Dec. 2006.
- [3] S. Ozoguz, A. Toker, O. Cicekoglu, "First-order allpass sections-based current-mode universal filter using ICCLs," Electronics letters, Vol.36, No.17, pp. 1443-1444, 2000.
- [4] T. Kunieda, Y.Hiramatsu, A. Fukui, "Frequency dependence of sensitivities in second-order RC active filters," IEEE Transactions on Circuits and Systems, Vol.27, No.2, pp. 77-84, Feb. 1980.
- [5] R. Raut, N. Guo, "Low Power Wideband Voltage and Current Mode Second-Order Filters Using Wideband CMOS Transimpedance Network," IEEE Proceedings of the 40th Midwest Symposium on Circuits and Systems, pp. 241-244, Aug. 1997.
- [6] J.M.Rollett, C.Nightingale, "Design and economical realisation of a hybrid RC-active lowpass filter for PCM," IEE Proceedings part-G, Vol.128, No.4, pp. 201-204, 1981.
- [7] R.A. Duncan, K.W.Martin, A.S.Sedra, "A Q-enhanced active-RLC bandpass filter," Circuits and Systems, ISCAS '93, IEEE International Symposium on, pp. 1416-1419, 1993.
- [8] M. Kumngern, K. Dejhan, "Voltage-Mode Low-pass, High-pass, Band-pass Biquad Filter Using Simple CMOS OTAs," IEEE Instrumentation and Measurement Technology Conference, pp. 924-927, May 2009.
- [9] G. Jacobs, D. Allstot, R. Brodersen, P. Gray, "Design techniques for MOS switched-capacitor ladder filters," IEEE Transactions on circuits and systems, vol.25, No12, pp. 1014-1021, 1978.
- [10] T. S. Fiez, D. J. Allstot, "CMOS switched-current ladder filters," IEEE Journal of Solid-State Circuits, vol.25, No.6, pp.1360-1367, 1990.
- [11] A. E. J. Ng, J. I. Sewell, "Ladder decompositions for wideband SI filter applications," IEE Proceedings: Circuits,

- Devices and Systems*, vol.145, No.5, pp. 306 – 313, 1998.
- [12] K. Martin, “Improved circuits for the realization of switched-capacitor filters,” *IEEE Transactions on currents and systems*, Vol.27, No.4, pp. 237–244, 1980.
- [13] J. Wu, E. El-Masry, “Current-mode ladder filters using multiple output current conveyers,” *IEE Proceedings: Circuits, Devices and Systems*, Vol.143, No.4, pp. 218-222, 1996.
- [14] T.Sumesaglam, A.I.Karsilayan, “A Digital Automatic Tuning Technique for High-Order Continuous-Time Filters,” *IEEE Transactions on Circuits and Systems I*, Vol.51, No.10, pp. 1975–1984, 2004.
- [15] T.Deliyannis, Y. Sun, J.K. Fidler, “Continuous - Time Active Filter Design,” London: CRC Press, 1999.